

گزارش پروژه‌ی پایان‌نیم سال درس رباطیک

داریوش حسن‌پور آده

۹۳۰۸۱۶۴

۱ مقدمه

طبق تعریف اولیه پروژه مبنی بر تعمیر و راه اندازی ربات مین یاب آزمایشگاه هوش مصنوعی به علت محدودیت های سخت افزاری / معماری ربات مذکور و عدم امکان مانور و برای پیاده سازی حداقل یکی از الگوریتم های درس رباتیک بروی ربات پروژه ی ثانویه جهت شبیه سازی رفتار ربات در صورتی که ربات توانایی سرعت دهی دلخواه به موتورهای خود را داشته باشد تخصیص داده شد. که در این گزارش به شرح هر یک از دو پروژه ی انجام شده می پردازیم.

فهرست مطالب

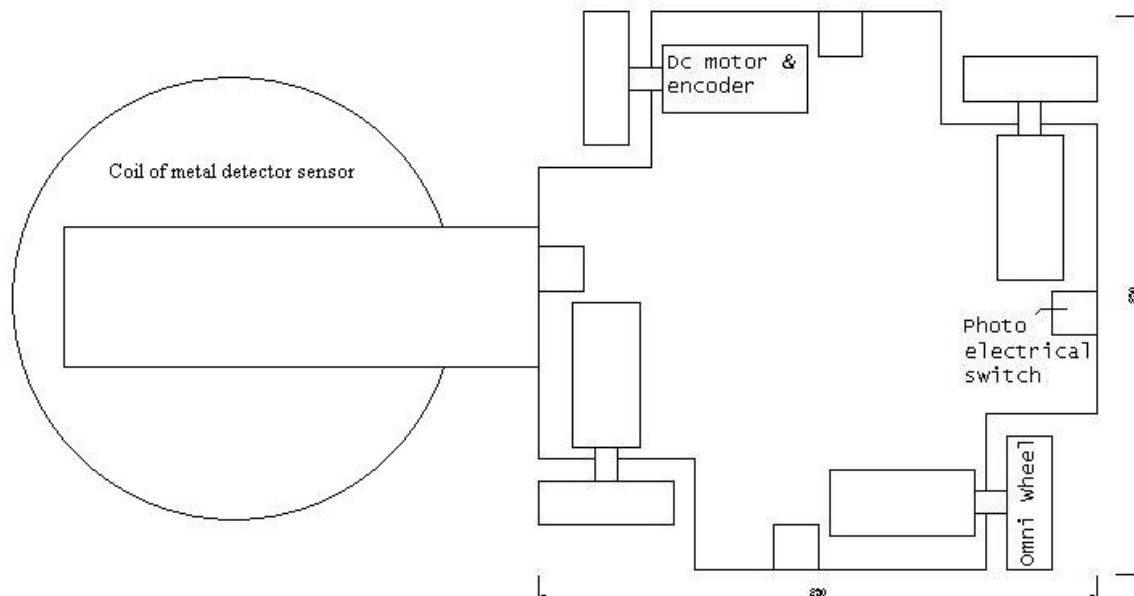
۱	مقدمه	۲
۲	تعمیر و راه اندازی سخت افزاری ربات	۳
۱.۲	سخت افزارهای ربات	۳
۲.۲	شرح عملکرد ربات	۳
۳.۲	شرح اتصالات اجزای الکترونیکی ربات	۴
۱.۳.۲	اتصالات درگاه A	۴
۲.۳.۲	اتصالات درگاه B	۵
۳.۳.۲	اتصالات درگاه C	۵
۴.۳.۲	اتصالات درگاه D	۵
۵.۳.۲	برنامه ریزی ربات	۶
۳	شبیه سازی نرم افزاری ربات	۶
۱.۳	مدل سازی ریاضی ربات	۶
۲.۳	درجه ی مانورپذیری ربات مدل سازی شده	۸
۳.۳	کنترل ربات برای رسیدن به مختصات مشخص	۸
۴	نتیجه	۱۰
۵	مراجع	۱۰

۲ تعمیر و راه اندازی سخت‌افزاری ربات

۱.۲ سخت‌افزارهای ربات

این ربات که در شکل ۱ نمایش ساختاری ربات آمده است؛ دارای مشخصات سخت‌افزاری زیر بوده است:

- ۱ عدد شاسی
- ۴ عدد موتور
- ۴ عدد چرخ سوئدی (با $\gamma = \frac{\pi}{4}$)
- ۴ عدد سنسور مادون قرمز با حساسیت ۱۰ سانتی متر
- ۱ عدد برد
- ۲ عدد زیرپروازنده
- ۱ عدد نمایشگر با آدرس دهی ۴ بیتی
- ۱ عدد حسگر فلزیاب (معیوب)



شکل ۱: نمایش ساختاری ربات

۲.۲ شرح عملکرد ربات

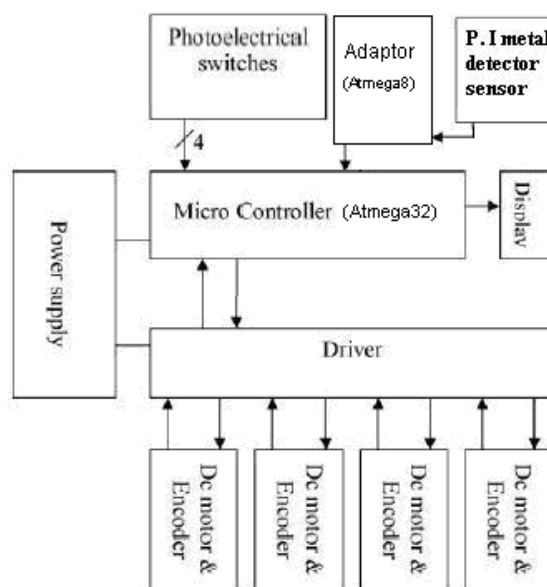
این ربات دارای ۴ چرخ دیفرانسیلی می‌باشد و هر یک از چرخ‌های می‌تواند به صورت جدا دستورات سرعت متفاوتی را اجرا کنند ولی متأسفانه سازندگان این ربات مدارها را طوری سیم پیچی کرده اند که هر یک از چرخ

ها میتواند فقط ۱ سرعت بگیرند (یا حرکت می کنند یا حرکت نمی کنند!) بنابراین امکان ایجاد حرکات زاویه دار که نیازمند تخصیص سرعت های متفاوتی به چرخ ها می باشند را ندارد.

برای کنترل ربات یک ریزپردازنده *Atmega32* استفاده شده است که تمامی سیگنال های حسگرها و دستورات کنترلی چرخ ها از طریق این ریزپردازنده کنترل میشوند. یک زیرپردازنده *Atmega8* نیز برای انتزاع سازی عملیات مربوط به حسگر فلزیاب نیز تعبیه شده است که عملیات سطح پایین مربوط به راه اندازی، ارتباط و دریافت اطلاعات از حسگر فلزیاب را به عهده دارد و در انتها توسط یک وقفه به ریزپردازنده اصلی (*Atmega32*) (فرستاده میشود که تشخیص فلز را اعلام می کند.

۳.۲ شرح اتصالات اجزای الکترونیکی ربات

همانطور که میدانیم ریزپردازنده *Atmega32* دارای ۴ عدد درگاه^۱ با نام های انتزاعی *A, B, C, D* می باشد که هر یک دارای ۸ عدد اتصال^۲ می باشند که در شکل ۲ شمای کلی اتصالات ربات آمده است و در این قسمت به معرفی اتصالات این درگاه ها با سایر قسمت های مدار می پردازیم.



شکل ۲: نمایش شماتیکی ربات

۱.۳.۲ اتصالات درگاه A

درگاه A اختصاصاً برای اتصالات راه انداز^۳های موتورها استفاده شده است. که به شرح جدول ۱ می باشد.

Port^۱
Pin^۲
Driver^۳

Pin	Connection	Target Motor
A_0	Input 1 Of Driver 1	Motor 2
A_1	Input 2 Of Driver 1	
A_2	Input 3 Of Driver 1	Motor 1
A_3	Input 4 Of Driver 1	
A_4	Input 1 Of Driver 2	Motor 3
A_5	Input 2 Of Driver 2	
A_6	Input 3 Of Driver 2	Motor 4
A_7	Input 4 Of Driver 2	

جدول ۱: مشخصات اتصالات درگاه A

۲.۳.۲ اتصالات درگاه B

این درگاه برای کار با حسگرهای مادون قرمز مورد استفاده قرار گرفته اند. که شامل اتصالات ۰, ۱, ۲ و ۳ می باشند که به ۴ حسگر بعنوان ورودی حسگرها فرستاده شده است.

۳.۳.۲ اتصالات درگاه C

از اتصالات درگاه C فقط اتصالات ۰ و ۲ برای بازنشانی و فعال کردن نمایشگر استفاده شده است.

۴.۳.۲ اتصالات درگاه D

اتصالات درگاه D به صورت جدول ۲ است.

Pin	Connection	Description
D_0	NOT USED	N/A
D_1	NOT USED	
D_2	Sensor Input 0-2	Interrupt
D_3	Sensor Input 1-3	
D_4	LCD Output	Mapped accordingly to LCD's PortC4...7
D_5	LCD Output	
D_6	LCD Output	
D_7	LCD Output	

جدول ۲: مشخصات اتصالات درگاه D

توجه شود که علت اینکه ۲ عدد وقفه برای ۴ عدد حسگر استفاده شده است این است که هر ۲ حسگر جلو و عقب به یک اتصال وقفه می‌دهند و بدین صورت که در حالت عادی فقط یکی از این حسگرها عمل میکنند و براحتی از سرعت چرخ‌ها میتوان حدس زد که کدام حسگر وقفه را ارسال کرده است و همین مساله برای حسگرهای چپ و راست نیز صادق است.

۵.۳.۲ برنامه‌ریزی ربات

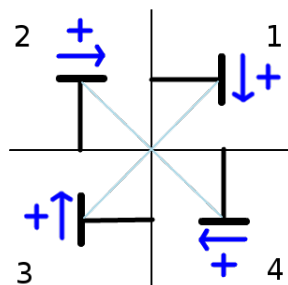
برای برنامه‌ریزی ربات و کنترل ربات فقط کافی است که ریزپردازنده *Atmega32* را برنامه‌ریزی نماییم. که برنامه‌ی نوشته شده به زبان *AVR* بوده و توسط کامپایلر *avr-gcc (GCC) 4.8.2* تحت سیستم عامل *Linux* *3.13.0-34-generic* کامپایل گردیده است و توسط *avrdude 6.0.1* به داخل ریزپردازنده سوخته^۴ شده است. که توضیح راجع به روند سوزاندن و کدهای سوخته شده خارج از حوصله‌ی این نوشتار است.

۳ شبیه‌سازی نرم‌افزاری ربات

برای پیاده‌سازی شبیه‌سازی مورد نیاز برای هدایت رویات به مختصات دلخواه نیاز به نوشتن روابط سینماتیکی مورد نیاز داریم.[۱] برای نوشتن روابط سینماتیکی ربات ابتدا باید آنرا مدل‌سازی کنیم.

۱.۳ مدل‌سازی ریاضی ربات

برای مدل‌سازی اینطور در نظر گرفتیم که هر چرخ با چرخ دیگر دارای اختلاف درجه $\frac{\pi}{4}$ بوده است و با هر یک از محورهای محلی خود دارای زاویه $\frac{\pi}{4}$ هستند. که در شکل ۳ آمده است. همانطور که در شکل ۳ می‌بینید جهت چرخش مثبت چرخ‌ها آمده است و چرخ‌ها به ترتیب نواحی مثلثاتی که در آن قرار دارند شماره گذاری شده‌اند.



شکل ۳: نمایش مدلی ربات برای شبیه‌سازی ربات در متلب

^۴Burn

برای بدست آوردن محدودیت‌های سینماتیکی تحمیل شده از طرف چرخ‌ها نیاز داریم ویژگی‌های هندسی چرخ‌ها را معین کنیم که در جدول ۳ آمده است. در جدول ۳ مقادیر r و l را با توجه به مقادیر داده شده به تمرین دوم این درس در نظر گرفته شده‌اند.

Wheel#	α	β	γ	l	r
1	$\frac{\pi}{4}$	$-\frac{\pi}{4}$	$\frac{\pi}{2}$	0.25	0.125
2	$\frac{3\pi}{4}$	$-\frac{\pi}{4}$	$\frac{\pi}{2}$	0.25	0.125
3	$\frac{5\pi}{4}$	$-\frac{\pi}{4}$	$\frac{\pi}{2}$	0.25	0.125
4	$\frac{7\pi}{4}$	$-\frac{\pi}{4}$	$\frac{\pi}{2}$	0.25	0.125

جدول ۳: مشخصات هندسی چرخ‌ها

با توجه به رابطه‌ی ۱ که بیانگر رابطه‌ی محدودیت‌های اعمال شده توسط چرخ‌های ثابت و فرمان‌پذیر استاندارد به ربات می‌باشد و با توجه به داده‌ی موجود در جدول ۳ به محاسبه‌ی عناصر رابطه‌ی ۱ در معادلات ۲...۶ می‌پردازیم.

$$J_1 R(\theta) \dot{\xi}_I = J_2 \dot{\phi} \quad (۱)$$

$$J_1 = \begin{bmatrix} \sin(\alpha_1 + \beta_1 + \gamma_1) & -\cos(\alpha_1 + \beta_1 + \gamma_1) & -l_1 \cos(\beta_1 + \gamma_1) \\ \sin(\alpha_2 + \beta_2 + \gamma_2) & -\cos(\alpha_2 + \beta_2 + \gamma_2) & -l_2 \cos(\beta_2 + \gamma_2) \\ \sin(\alpha_3 + \beta_3 + \gamma_3) & -\cos(\alpha_3 + \beta_3 + \gamma_3) & -l_3 \cos(\beta_3 + \gamma_3) \\ \sin(\alpha_4 + \beta_4 + \gamma_4) & -\cos(\alpha_4 + \beta_4 + \gamma_4) & -l_4 \cos(\beta_4 + \gamma_4) \end{bmatrix} = \begin{bmatrix} 0 & -1 & -0.1768 \\ 1 & 0 & -0.1768 \\ 0 & +1 & -0.1768 \\ -1 & 0 & -0.1768 \end{bmatrix} \quad (۲)$$

$$R(\theta) = \begin{bmatrix} \cos(\theta) & \sin(\theta) & 0 \\ -\sin(\theta) & \cos(\theta) & 0 \\ 0 & 0 & 1 \end{bmatrix} \quad (۳)$$

$$\dot{\xi}_I = \begin{bmatrix} \dot{x} & \dot{y} & \dot{\theta} \end{bmatrix}^T \quad (۴)$$

$$J_2 = \begin{bmatrix} 0.125 & 0 & 0 & 0 \\ 0 & 0.125 & 0 & 0 \\ 0 & 0 & 0.125 & 0 \\ 0 & 0 & 0 & 0.125 \end{bmatrix} \quad (۵)$$

$$\dot{\phi} = \begin{bmatrix} \dot{\phi}_1 & \dot{\phi}_2 & \dot{\phi}_3 & \dot{\phi}_4 \end{bmatrix}^T \quad (۶)$$

که با انتقال معلومات معادله‌ی ۱ به سمت راست رابطه و جایگذاری معادلات ۲...۶ در معادله‌ی ۱ و اعمال

عملیات ریاضی مورد نیاز بروی مقادیر ثابت معادله، به معادله ی ۷ میرسیم.

$$\dot{\xi}_T(\phi_{1...4}, \theta) = \begin{bmatrix} \cos(\theta) & -\sin(\theta) & 0 \\ \sin(\theta) & \cos(\theta) & 0 \\ 0 & 0 & 1 \end{bmatrix} * \begin{bmatrix} 0/0000 & +0/0625 & +0/0000 & -0/0625 \\ -0/0625 & -0/0000 & +0/0625 & -0/0000 \\ -0/1768 & -0/1768 & -0/1768 & -0/1768 \end{bmatrix} * \begin{bmatrix} \dot{\phi}_1 \\ \dot{\phi}_2 \\ \dot{\phi}_3 \\ \dot{\phi}_4 \end{bmatrix} \quad (7)$$

که معادله ی ۷ با جایگذاری زاویه ی کنونی ای که ربات دارد و سرعت تک تک چرخ ها و اعمال عملیات ضرب ها سرعت لحظه ای ربات در مختصات جهانی بدست خواهد آمد؛ و با انتگرال گیری از آن می توان موقعیت ربات را در مختصات جهانی بدست آورد.

۲.۳ درجه ی مانورپذیری ربات مدل سازی شده

با توجه به اینکه در مدل سازی نرم افزاری ربات برعکس نمونه واقعی ساخته شده؛ این مهم در نظر گرفته شده است که می شود به چرخ های مختلف سرعت های مختلف تخصیص داد (همان طور که معادله ی ۷ پیشنهاد میدهد) لازم دانستم که اندکی در مورد درجه ی مانورپذیری ربات بحثی کنم تا در مورد نتایج حاصل از شبیه ساز ربات (که در قسمت ۴ ارائه میشود) ابهامات احتمالی برطرف گردد.

همانطور که میدانیم درجه ی مانورپذیری ربات (δ_M) از رابطه ی ۸ بدست می آید که برابر با مجموع درجات فرمان پذیری و تحرک ربات است. از آنجایی که این ربات هیچ چرخ فرمان پذیری ندارد بنابراین درجه ی فرمان پذیری آن صفر بوده است و بدیهی است که درجه ی تحرک ای برابر با مقدار ۳ دارد؛ بنابراین درجه ی مانورپذیری برابر ۳ دارد و میتواند در هر موقعیتی خود را قرار دهد.

$$\delta_M = \delta_m + \delta_s \quad (8)$$

۳.۳ کنترل ربات برای رسیدن به مختصات مشخص

همانطور که در قسمت ۲.۳ بحث شد این ربات میتواند با تنظیم مناسب چرخ های خود در هر موقعیتی خود را قرار دهد. کنترل پیاده سازی شده برای کنترل سرعت و درجه ربات از ۲ مرحله تشکیل شده است که ابتدا ربات با همان زاویه در حال حاضر قرار دارد خود را به موقعیت مورد نظر برساند و سپس در موقعیت هدف زاویه خود را تغییر دهد - در صورت انحراف از نقطه ی هدف در مرحله ۲ با استفاده از روند مرحله ی ۱ موقعیت خود را تصحیح کند سپس مرحله ۲ را ادامه دهد. که سرعت های هریک از چرخ ها توسط معادله ۹ تخصیص داده میشود.

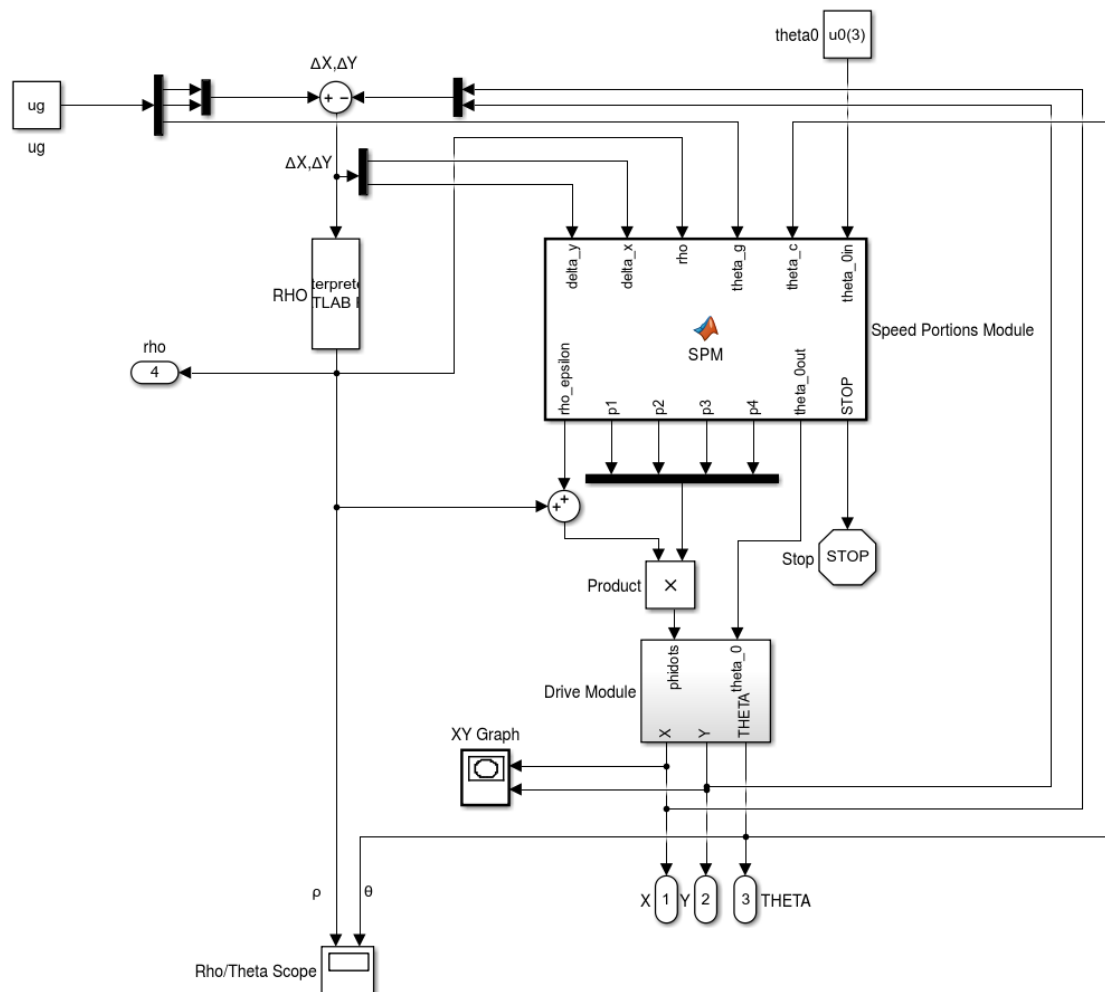
$$\begin{bmatrix} \dot{\phi}_1' \\ \dot{\phi}_2' \\ \dot{\phi}_3' \\ \dot{\phi}_4' \end{bmatrix} = \begin{bmatrix} -(K_\rho + K_\epsilon) \sin(\theta') \\ +(K_\rho + K_\epsilon) \cos(\theta') \\ +(K_\rho + K_\epsilon) \sin(\theta') \\ -(K_\rho + K_\epsilon) \cos(\theta') \end{bmatrix} \quad (9)$$

که در معادله ۹ مقادیر K_ρ و θ' توسط 10° و 11° بدست می آیند.

$$K_\rho = \sqrt{\Delta x^2 + \Delta y^2} \quad (10)$$

$$\theta' = \arctan(\Delta y, \Delta x) \quad (11)$$

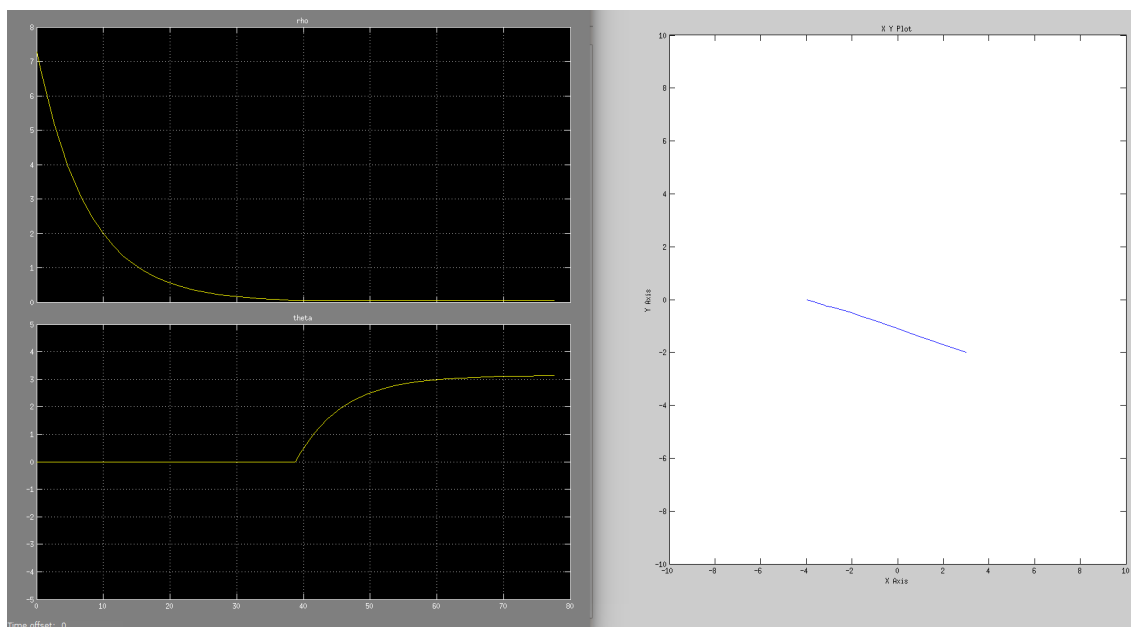
که در معادله ی ۹ عبارت K_ϵ برابر با یک مقدار دلخواه برای عادی سازی/بهینه سازی مقادیر K_ρ در برخی موارد خواص (معمولا مقداری برابر با صفر دارد) می باشد. و در معادلات 10° و 11° منظور از Δx و Δy فاصله ی مولفه های دکارتی موقعیت کنونی ربات با موقعیت هدف می باشند. که بلوک-دیاگرام سیمولینک شبیه ساز در شکل ۴ آورده شده است.



شکل ۴: بلوک-دیاگرام پیاده سازی شده در شبیه ساز

۴ نتیجه

در شکل ۵ نتیجه یک نمونه اجرا آورده شده است که در این نمونه اجرا از ربات خواسته شده است که از موقعیت $\begin{bmatrix} 3 & -2 & \frac{3\pi}{2} \end{bmatrix}^T$ خود را به موقعیت $\begin{bmatrix} -4 & 0 & \frac{\pi}{2} \end{bmatrix}^T$ برساند.



شکل ۵: نتیجه یک نمونه اجرای بلوک-دیاگرام شکل ۴ که از ربات خواسته شده است که موقعیت کنونی اش خود را به موقعیت هدفش برساند.

که همانطور که در شکل ۵ سمت راست میبینید ربات براحتی توانسته با یک مسیر مستقیم خود را به هدف برساند. در شکل ۵ سمت چپ ابتدا ربات به کاهش فاصله اش با هدف (چپ-بالا) میپردازد پس از آنکه به موقعیت هدف رسید به تغییر زاویه ی خود (چپ-پایین) به زاویه ی دلخواه می رساند؛ که شکل سمت چپ-پایین میزان تغییرات زاویه انجام شده را نشان می دهد - که در ابتدا میزان تغییرات زاویه صفر بوده و سپس به اندازه $+\pi^\circ$ تغییر زاویه داده است (همانطور که انتظار میرفت).

۵ مراجع

- [1] Roland Siegwart, IlahR. Nourbakhsh, and Davide Scaramuzza. Introduction to Autonomous Mobile Robots, chapter3. The MIT Press, 2ed edition, 2011.